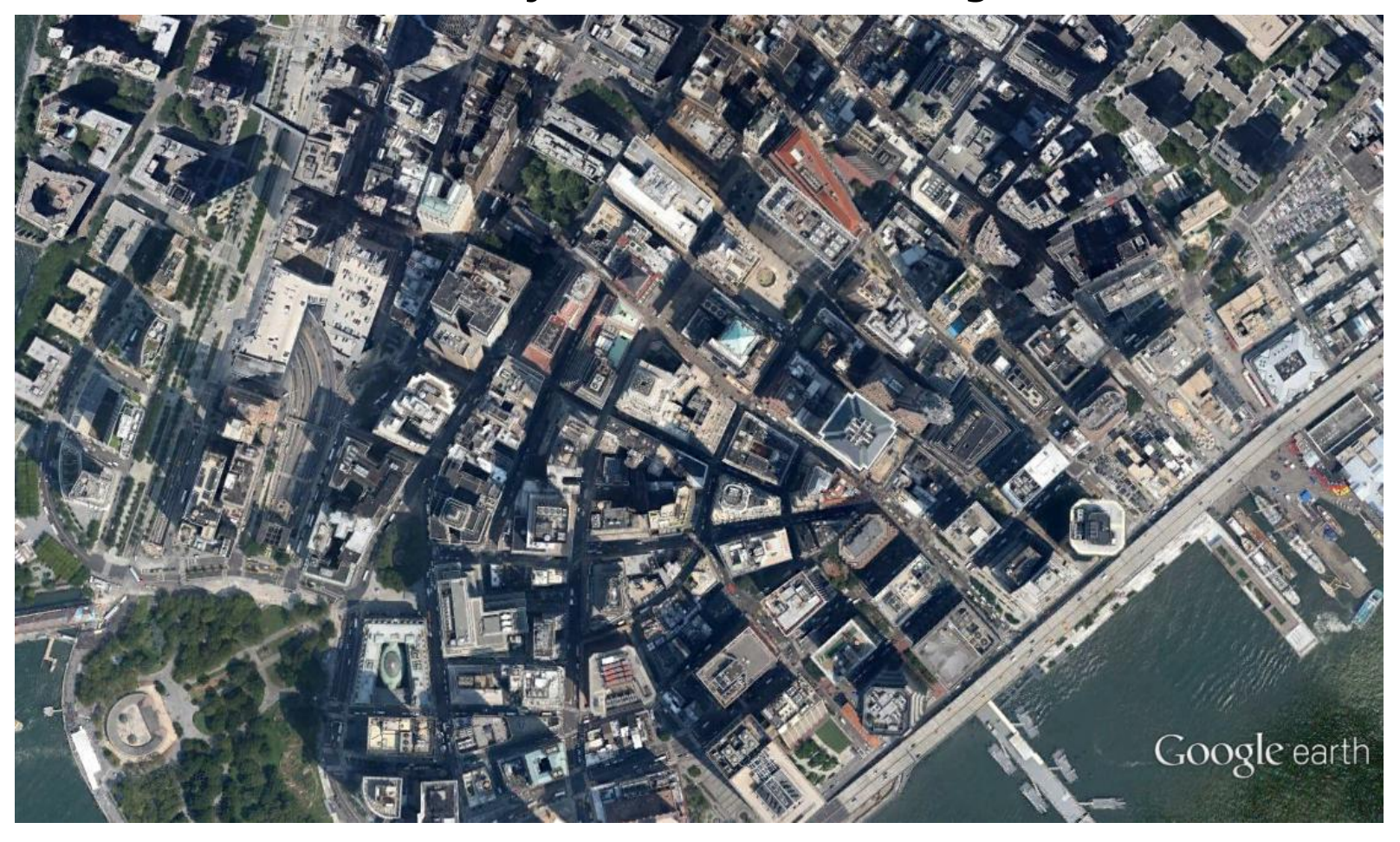




# EXTRACÇÃO DE SOMBRA A PARTIR DE IMAGENS DE SATÉLITE DE ALTA RESOLUÇÃO

Classificação Não Supervisionada, Reclassificação de Imagem e Classificação Orientada a Segmento

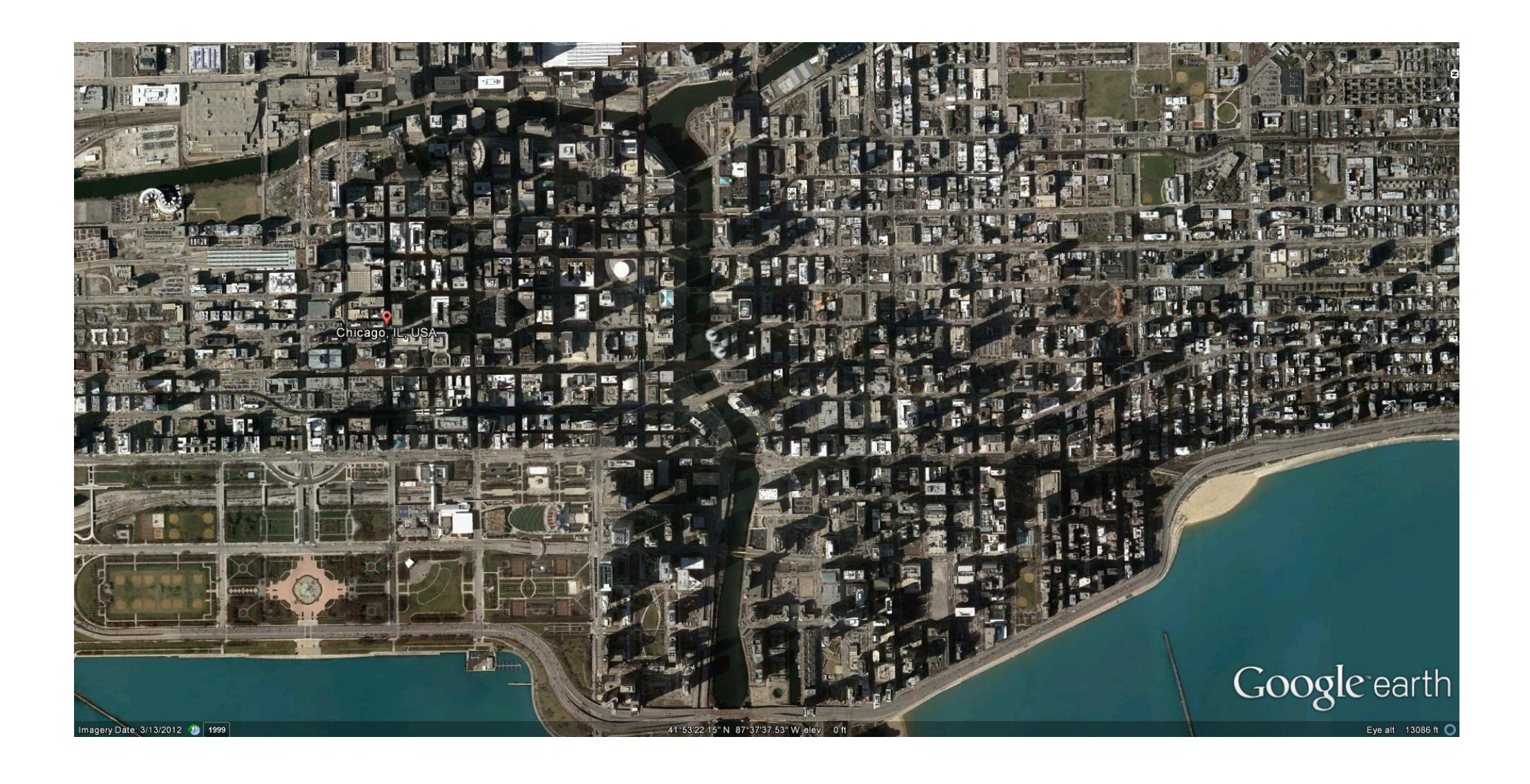


# **SUMÁRIO**

## 1. Background

- 2. Metodologia e Resultados
- **2.1.** Dados
- 2.2. Classificação não supervisionada
- 2.3. Reclassificação de imagem
- 2.4. Classificação orientada a segmento
- 3. Discussão

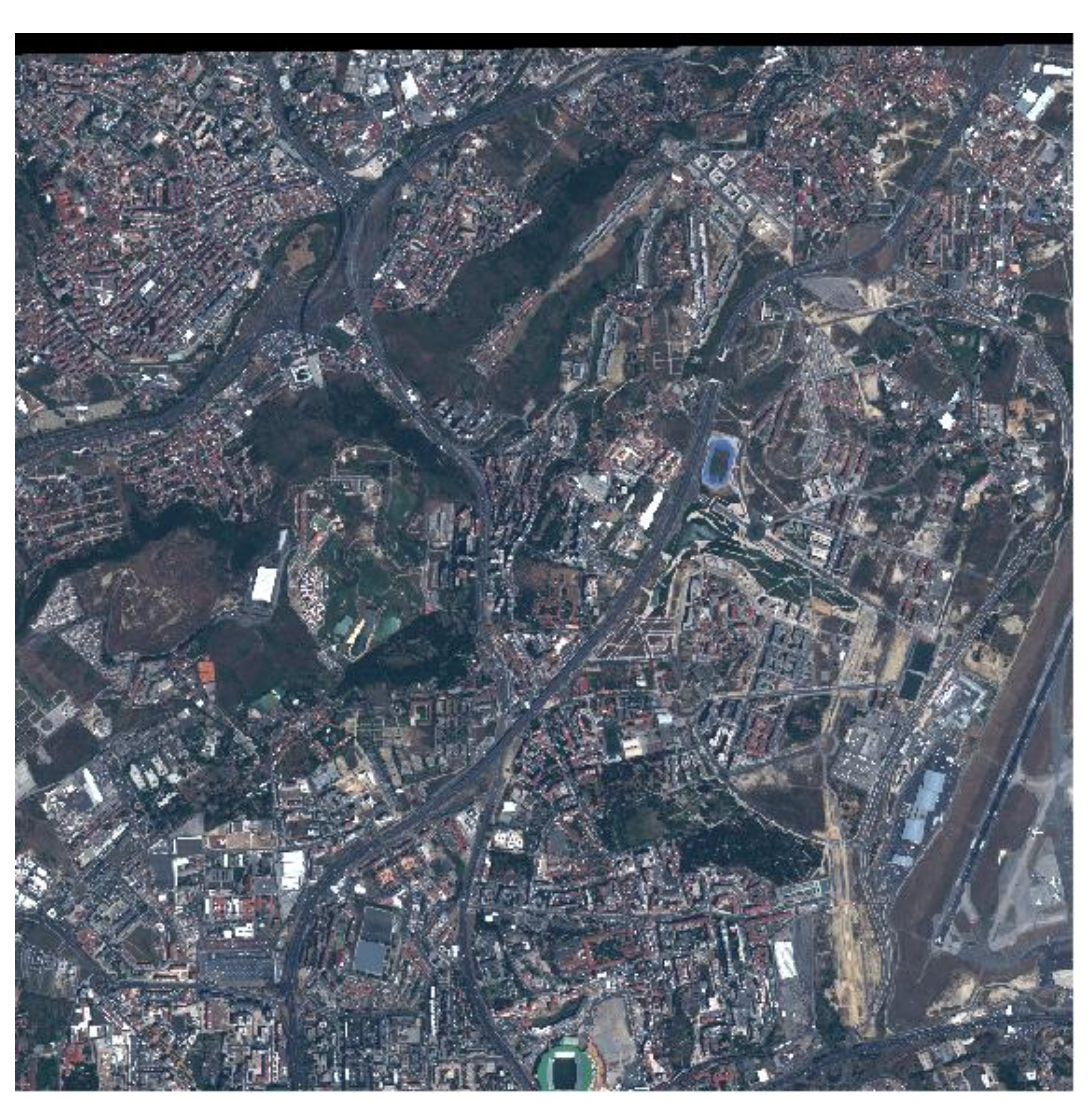
## 1. BACKGROUND



# 2. METODOLOGIA E RESULTADOS 2.1. Dados



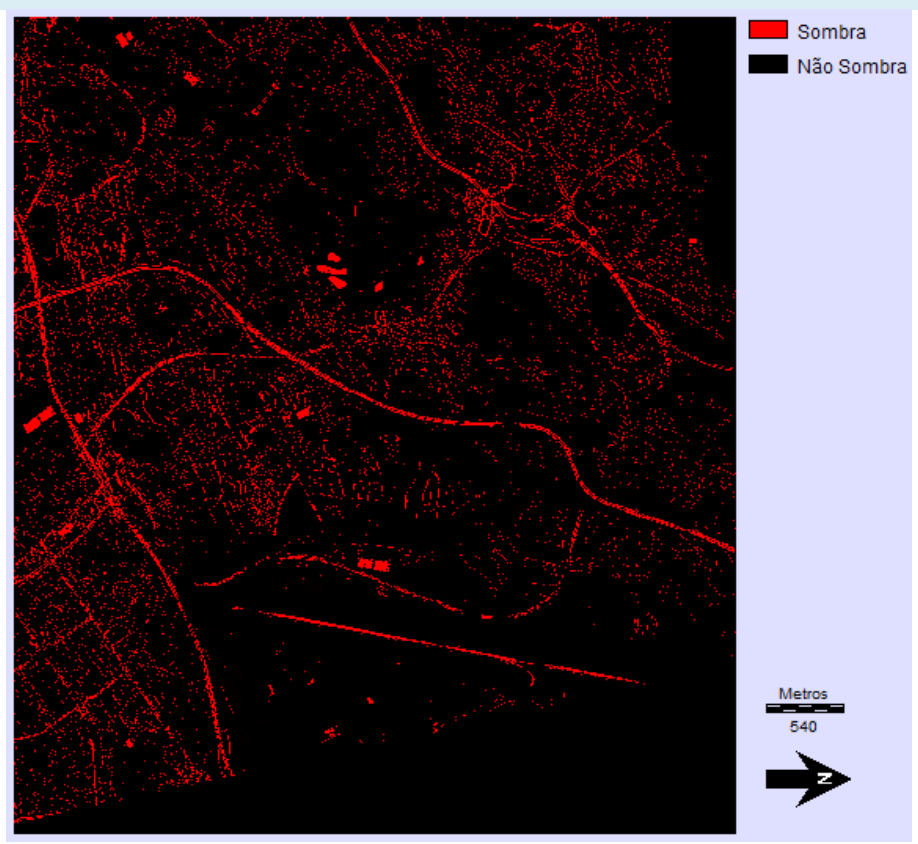
Composição colorida "cor verdadeira" IKONOS



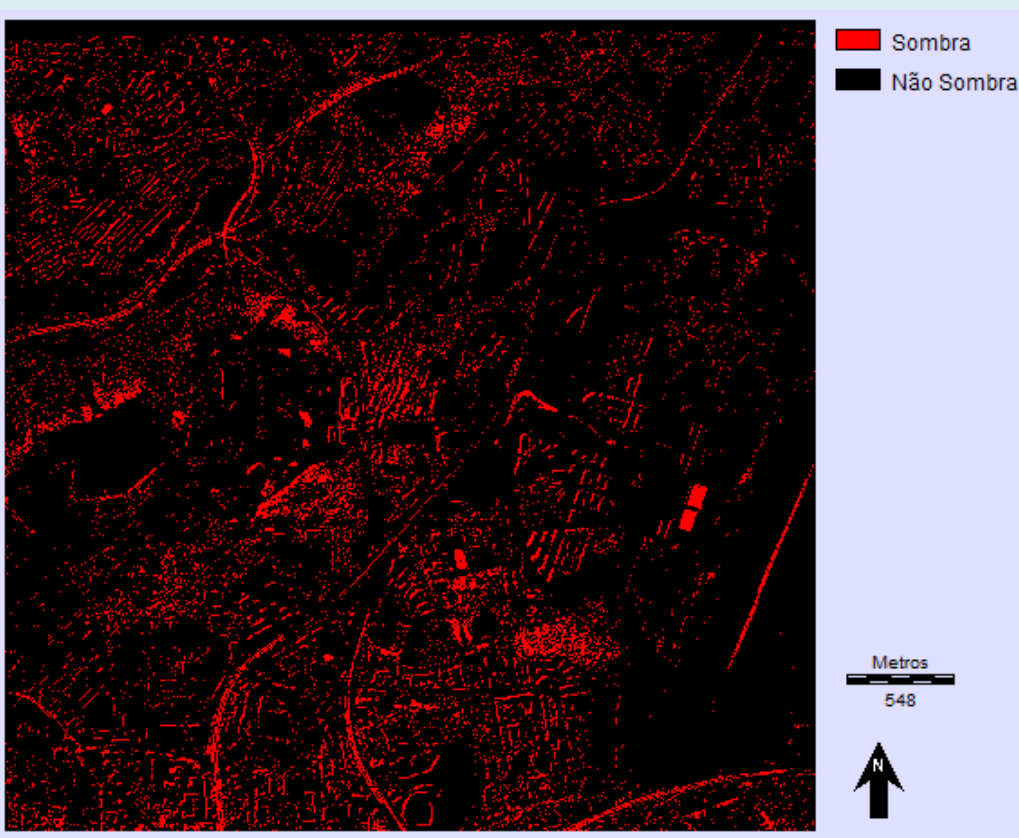
Composição colorida "cor verdadeira" WorldView-2

Extracção de sombra a partir de imagens de satélite de alta resolução

# 2.2. Classificação não supervisionada



Classificação não supervisionada da banda pancromática da imagem IKONOS (*K-means*)

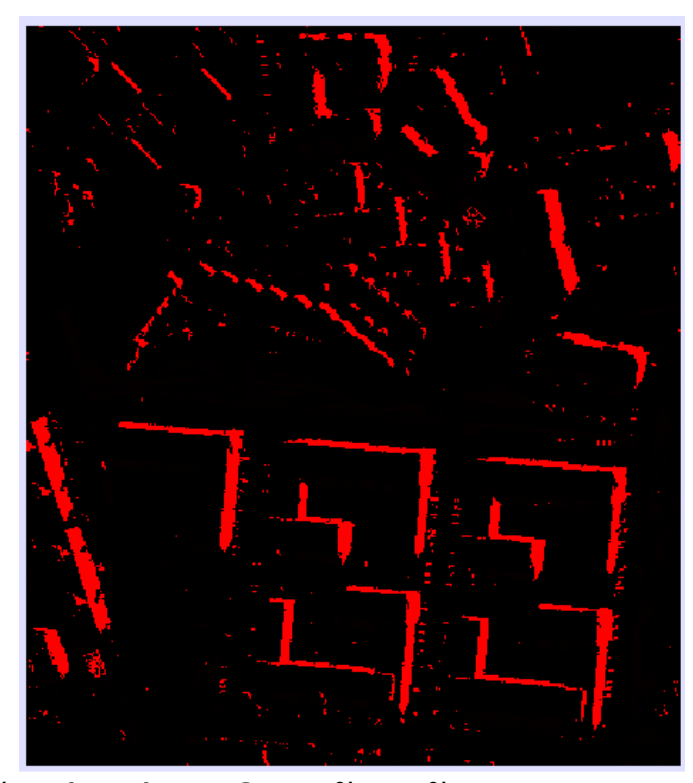


Classificação não supervisionada da banda pancromática da imagem WorldView-2 (*K-means*)

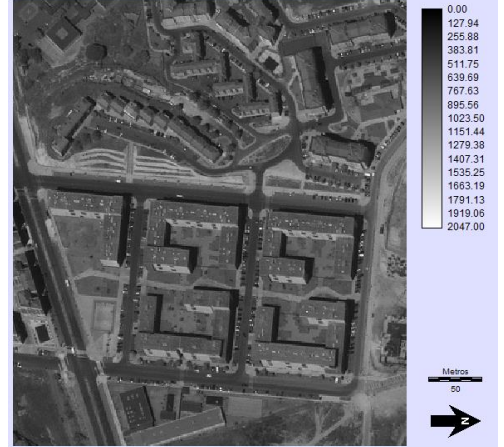
K-means
10 classes

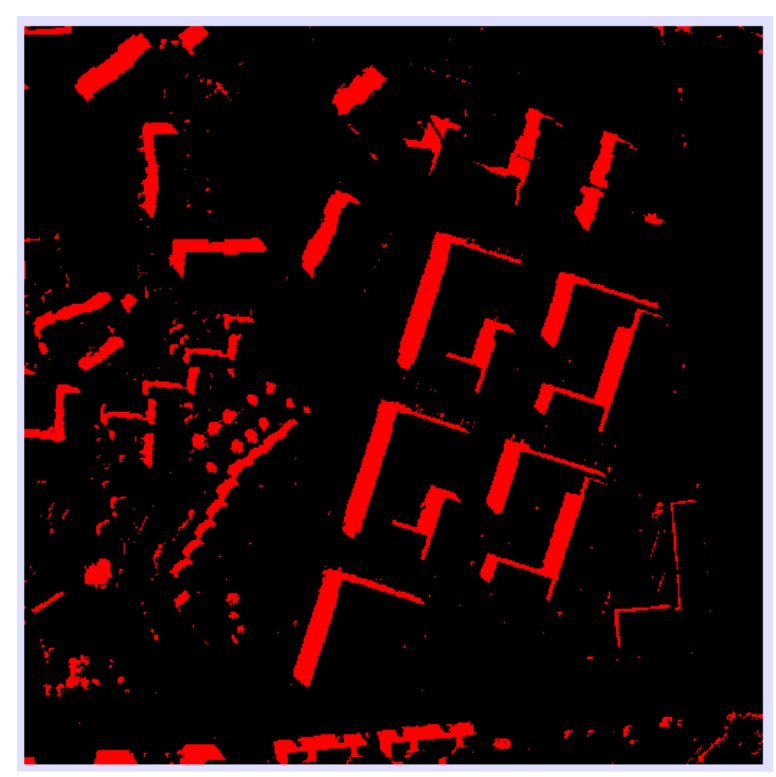
$$d_{ik} = (\sum |X_{in} - C_{kn}|^2)^{1/2}$$

 $d_{ik}$  – distância do píxel i até ao centróide k;  $X_{in}$  – vector do píxel i;  $C_{kn}$  – vector do centróide k; n – número de bandas [Eastman, 2009]

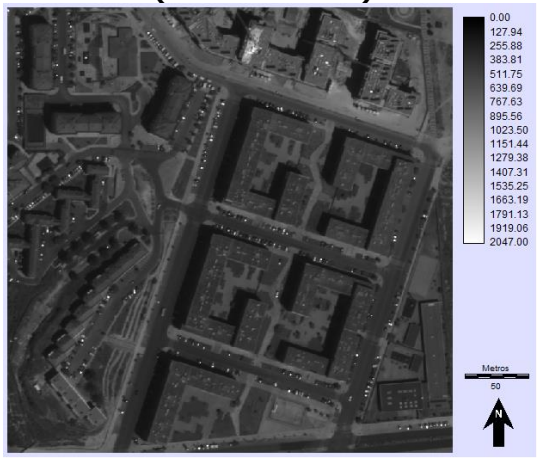


Porção da classificação não supervisionada da banda pancromática da imagem IKONOS (*K-means*)

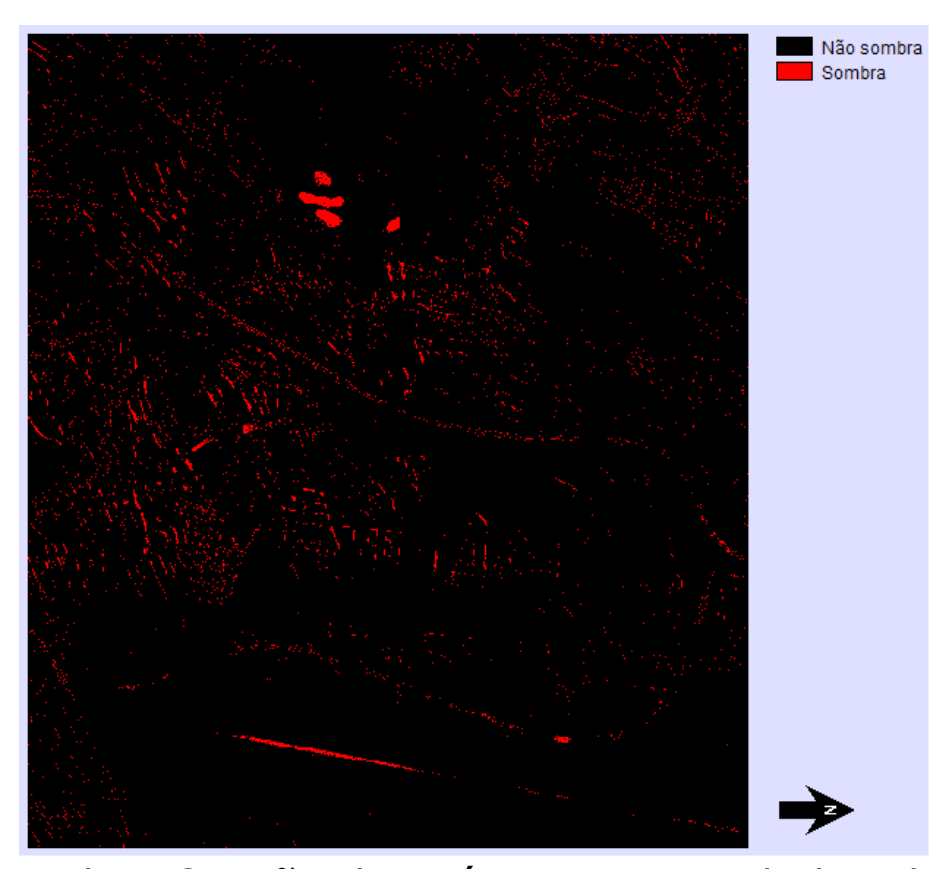




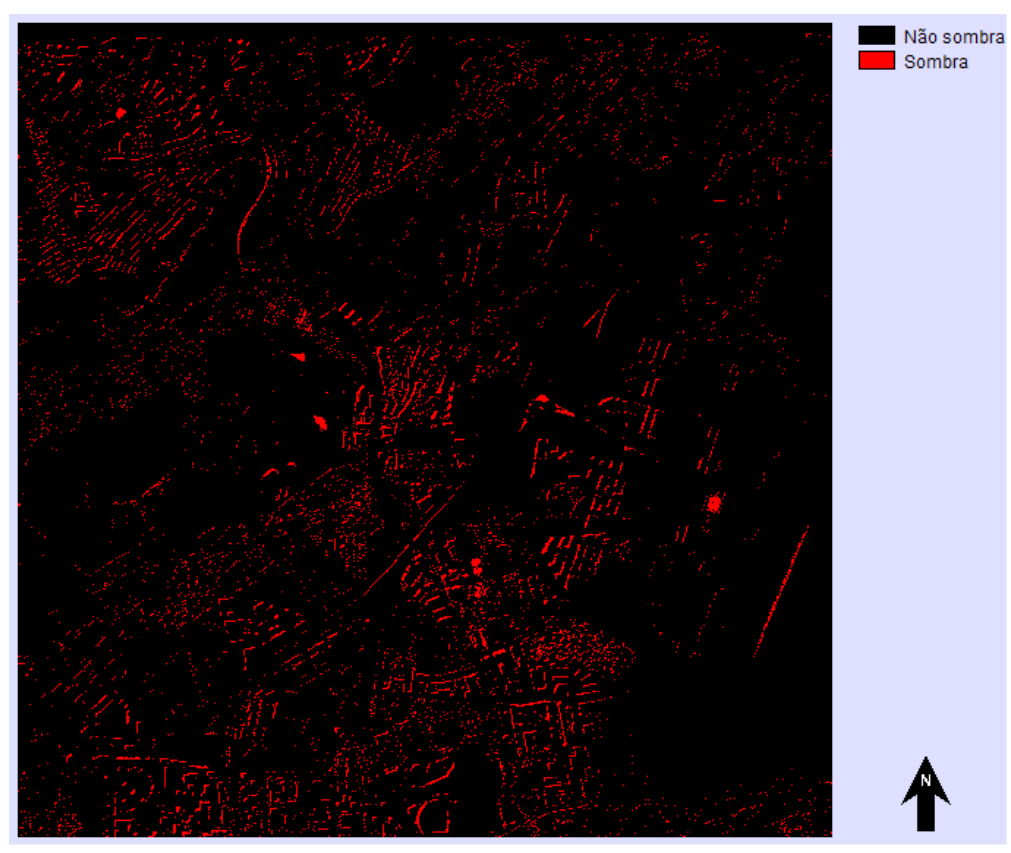
Porção da classificação não supervisionada da banda pancromática da imagem WorldView-2 (*K-means*)



# 2.3. Reclassificação de Imagem



Reclassificação dos Níveis Digitais da banda pancromática da imagem IKONOS

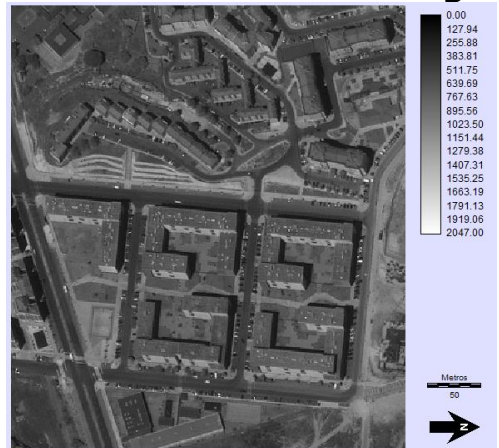


Reclassificação dos Níveis Digitais da banda pancromática da imagem WorldView-2

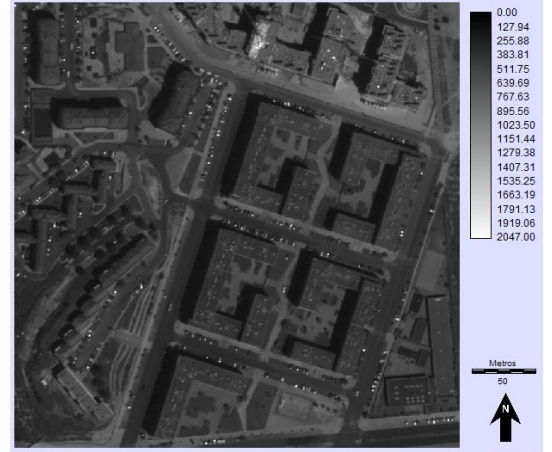
PARÂMETROS IMAGEM	Assumir Valor Novo de (DN)	A todos os valores desde (DN)	A menos que (DN)
IKONOS	1 (sombra)	100	260
WorldView-2	1 (sombra)	100	210



Porção da reclassificação dos Níveis Digitais da banda pancromática da imagem IKONOS

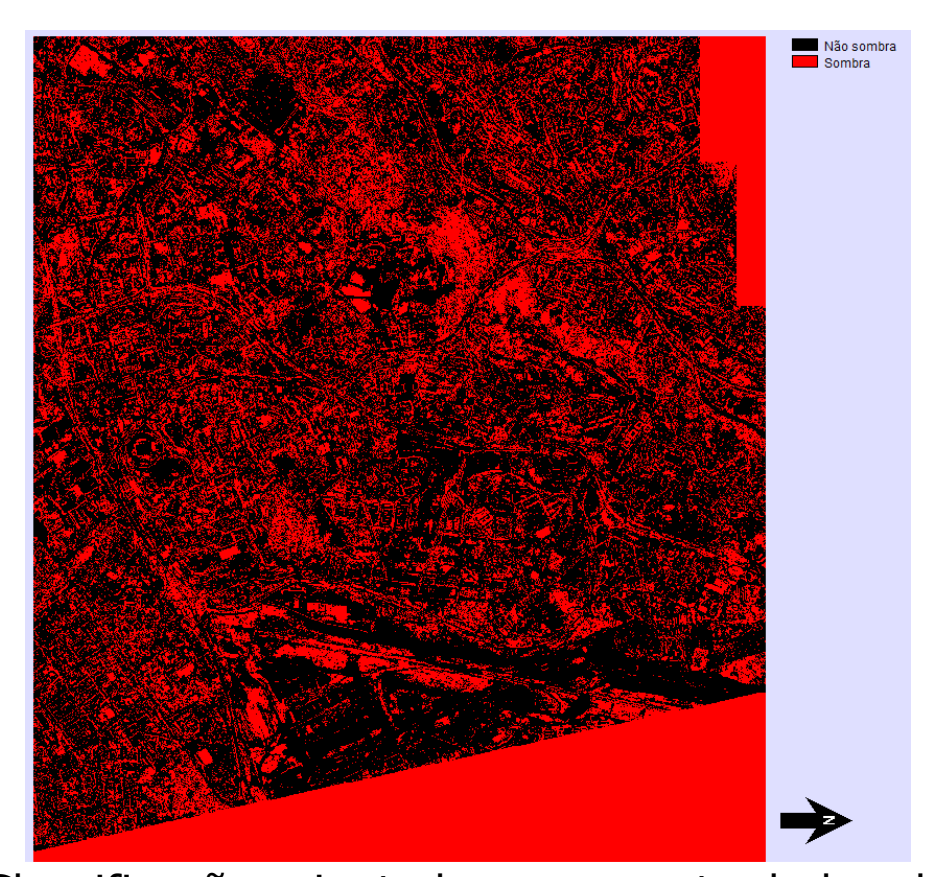


Porção da reclassificação dos Níveis Digitais da banda pancromática da imagem WorldView-2

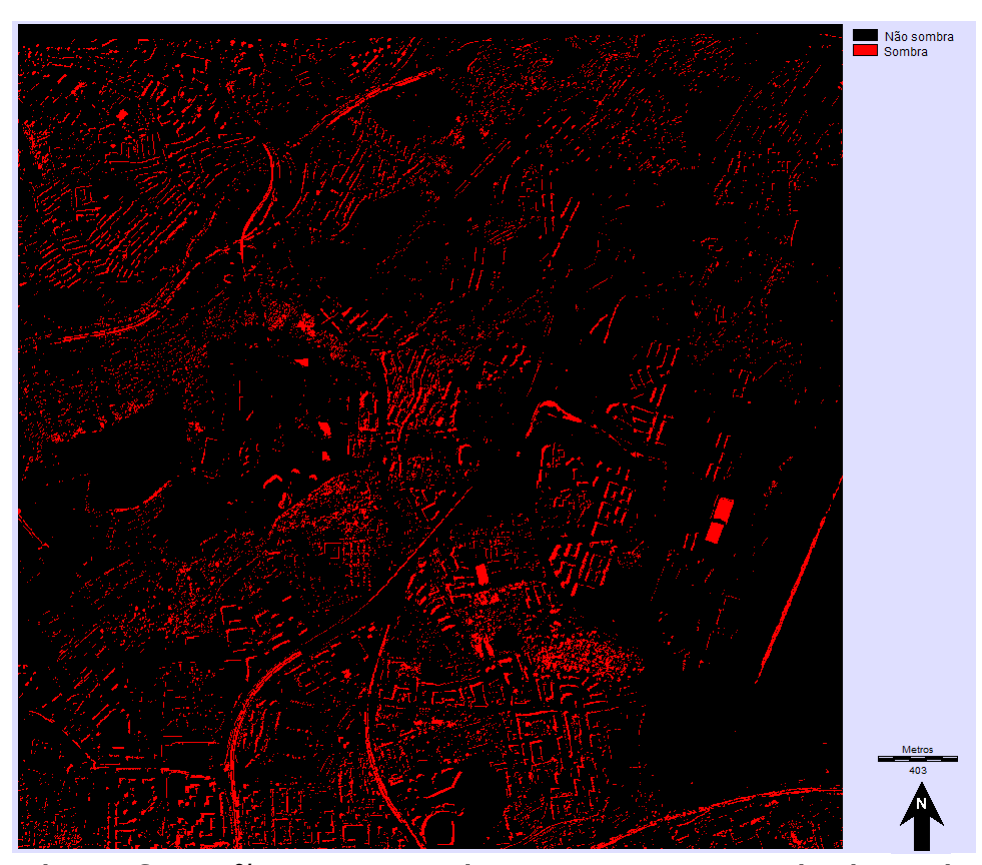


Extracção de sombra a partir de imagens de satélite de alta resolução

## 2.4. Classificação orientada a segmento



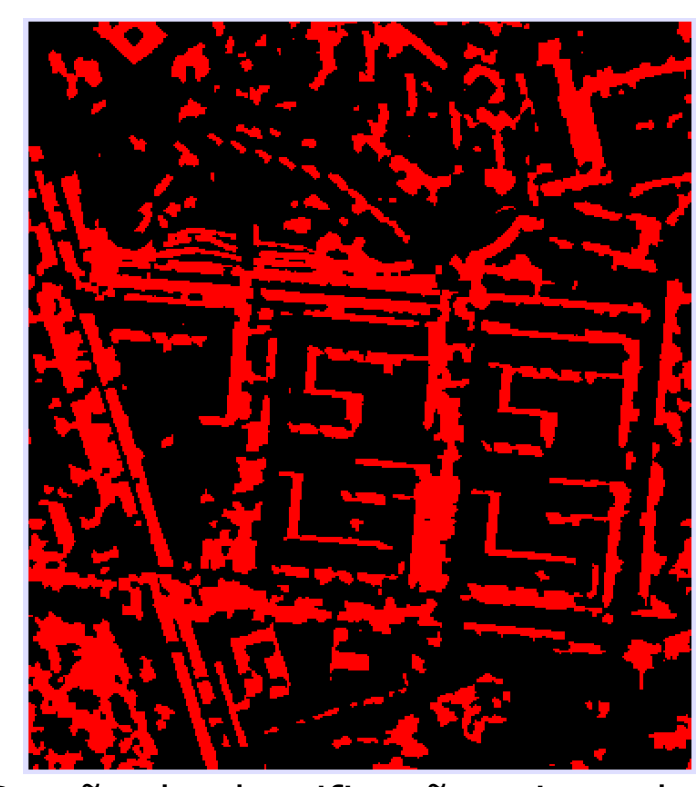
Classificação orientada a segmento da banda pancromática da imagem IKONOS



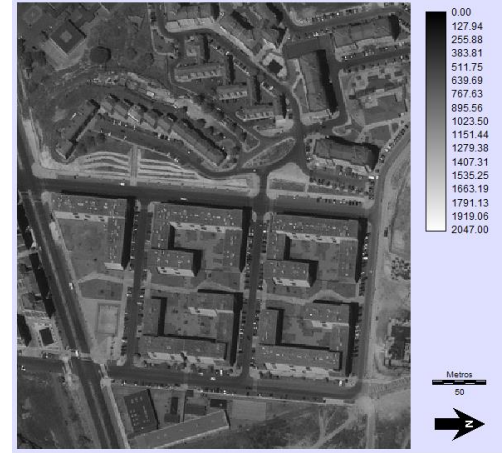
Classificação orientada a segmento da banda pancromática da imagem WorldView-2

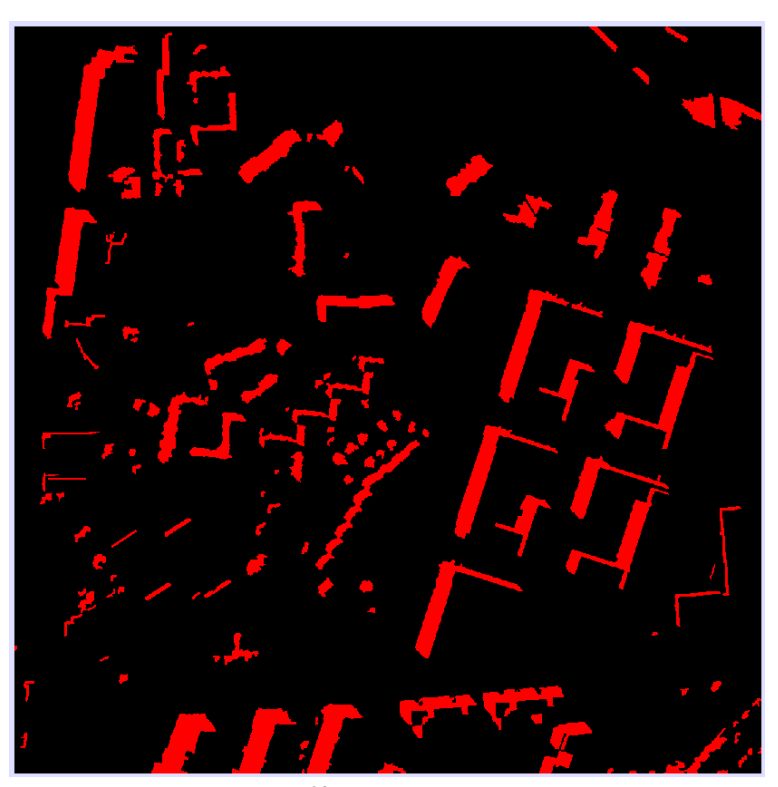
$$p(h | e) = \frac{p(e | h) * p(h)}{\sum p(e | h_i) * p(h_i)}$$

p (h | e) – probabilidade da hipótese ser verdadeira, dada a evidência; p (e | h) – probabilidade de encontrar a evidência, dada a hipótese ser verdadeira; p (h) – probabilidade de a hipótese ser verdadeira, independentemente da evidência [Eastman, 2009]

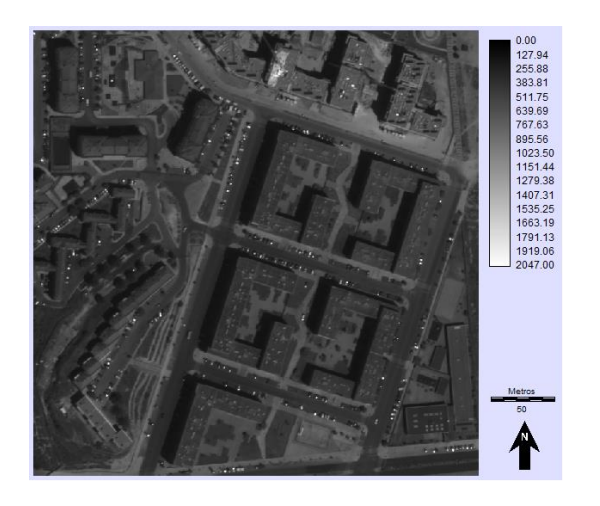


Porção da classificação orientada a segmento da banda pancromática da imagem IKONOS





Porção da classificação orientada a segmento da banda pancromática da imagem WorldView-2



Extracção de sombra a partir de imagens de satélite de alta resolução

## Metodologia:

- > Momento espaciotemporal, imagem e bandas específicos e condições atmosféricas: ângulo azimutal solar, período do ano, do mês, do dia...
- > Pixel: Tamanho e Níveis Digitais Resolução Espacial e Radiométrica das imagens utilizadas
- > A sombra é influenciada por outros objectos e forma, textura e cor dos mesmos (outras sombras, várias sombras, zonas de transição) e detém um comportamento espectral similar ao de outros objectos

## Resultados:

- > Banda pancromática do satélite com maior resolução espacial (WorldView-2)
- > Classificação não supervisionada e reclassificação dos Níveis Digitais: automatizados, céleres e eficazes
- > Classificação orientada a segmento: maior decisão, mais precisa e eficiente, mas mais subjectiva

## Futuro:

- > Classificação por processamento digital de imagem vs análise visual de imagem
- > Desenvolvimento de índices: *Normalized Saturation-Value Difference Index*
- > Procedimentos de validação dos métodos e técnicas utilizados e procedimentos para avaliação da exactidão temática dos resultados

## Contributo para a **GEODECISÃO**:

- Uso/ocupação do solo: valor semântico, quantitativo e geométrico oculto
- > Transformação temporal de objectos
- > Construção 3D
- Estimar altura de edifícios
- Potencial energético solar
- > Estudos climatológicos
- > Espaços verdes urbanos
- > Agricultura
- > ...

## **BIBLIOGRAFIA**

- 1. Campbell, J. and Wynne, H. (2011). Introduction to Remote Sensing. New York: The Guildorf Press, p. 335-350 e 371-372;
- 2. Dare, P. (2005). Shadow Analysis in High-Resolution Satellite Imagery of Urban Areas. Photogrammetric Engineering & Remote Sensing, 2, p. 169-177;
- 3. Eastman, J. (2009). IDRISI Taiga. Guide to GIS and Image Processing. USA: Clark University;
- 4. Glunch, R., Quattrochi, D. and Luvall, J. (2006). A multi-scale approach to urban thermal analysis. Remote Sensing of Environment, 104, p. 123-132;
- 5. Huertas, A., Nevatia, R. (1988). Detecting Buildings in Aerial Images. Computer Vision, Graphics and Image Processing, 41, p. 131-152;
- 6. Irvin, R., McKeown, M. (1989). Methods for Exploiting the Relationship Between Buildings and Their Shadows in Aerial Imagery. IEEE Transactions on Systems, Man, and Cybernetics, 19, 6, p. 1564-1575;
- 7. Lillesand, T., Kiefer, R. (2000). Remote Sensing and Image Interpretation. USA: John Wiley & Sons, Inc., p. 532-560;
- 8. Ma, H., Qin, Q., Shen, X. (2008). Shadow Segmentation and Compensation in High Resolution Satellite Images. Geoscience and Remote Sensing Symposium;
- 9. Massalabi, A., He, D., Bénié, G., Beaudry, É. (sem data). Restitution of Information under Shadow in Remote Sensing High Space Resolution Images: Application to Ikonos Data of Sherbrooke City;
- 10. Nichol, J. (2005). Remote Sensing of Urban Heat Islands by Day and Night. Photogrammetric Engineering and Remote Sensing, 71, 5, p. 613-621;
- 11. Peeters, A. (2010). A GIS-Based Object Recognition Model for Analyzing the Morphology of Urban Form. International Association for Urban Climat, 37;
- 12. Polidorio, A. (2003). Automatic Shadow Segmentation in Aerial Color Images. Proceedings of the XVI Brazilian Symposium on Computer Graphics and Image Processing;
- 13. Richards, J., JIA, X. (2006). Remote Sensing Digital Image Analysis. Germany: Springer;
- 14. Rollet, R., Benie G., Li, W., Wang, S., Boucher, J. (1998). Image classification algorithm based on the RBF neural network and Kmeans. Internation Journal of Remote Sensing, 19, 15, p. 3003-3009;
- 15. Yamazaki, F, Liu, W., Takasaki, M. (2009) Characteristics of Shadow and Removal of Its Effects for Remote Sensing Imagery. Geoscience and Remote Sensing Symposium (IGARSS), pp. 426-429;
- 16. Zhang, Z., Chen, F. (2010). A Shadow Processing Method of High Spatial Resolution Remote Sensing Image. 3rd International Congress on Image and Signal Processing, pp. 816-820.

# **OBRIGADO PELA ATENÇÃO!**

## Morna Nandaia



m.nandaia@studentes.fcsh.unl.pt

## Ricardo Silva





Trabalho realizado no âmbito do Mestrado em Gestão do Território

Especialização em Detecção Remota e Sistemas de Informação Geográfica

Faculdade de Ciências Sociais e Humanas

Universidade Nova de Lisboa